

ЎЗБЕКИСТОН РЕСПУБЛИКАСИ  
ОЛИЙ ВА ЎРТА МАХСУС ТАЪЛИМ ВАЗИРЛИГИ

---

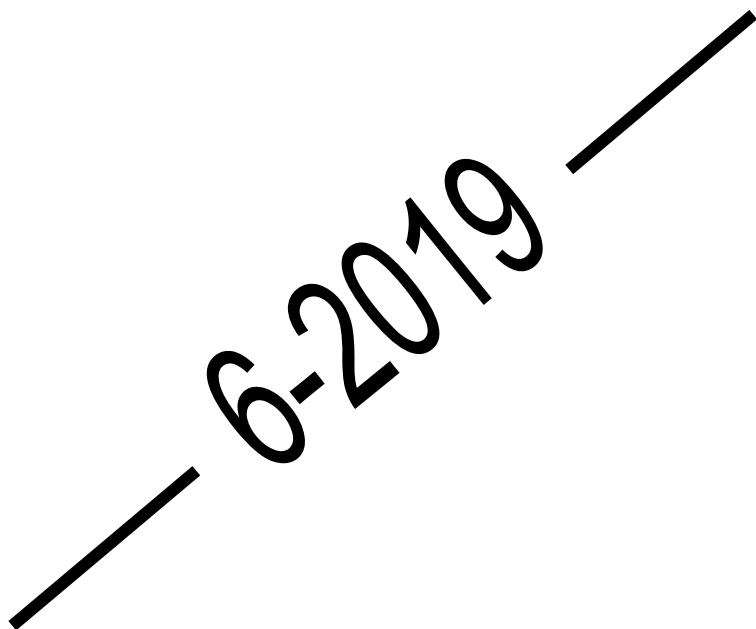
---

ФАРГОНА ДАВЛАТ УНИВЕРСИТЕТИ

**FarDU.  
ILMIY  
XABARLAR-**

1995 йилдан нашр этилади  
Йилда 6 марта чиқади

6-2019



**НАУЧНЫЙ  
ВЕСТНИК.  
ФерГУ**

Издаётся с 1995 года  
Выходит 6 раз в год

<b>А.Бердиалиев, М.Зокиров</b>	
Лингвистик интерференция ва унинг ўзбек-тожик тиллари контактига алоқаси .....	88
<b>Ш.Турдиматова</b>	
Функционимлар ва уларнинг тил луғат таркибининг макроқурилмалар тизимиға мансуб ҳодисалар билан ўзаро муносабати ҳақида.....	92
<b>М.Эргашев</b>	
Инглиз ва ўзбек тилларида “феълли боғланиш” лисоний категория сифатида .....	98
<b>Х.Исмоилов</b>	
Суд нутқининг социолингвистик таҳлилига доир .....	101
<b>ИЛМИЙ АҲБОРОТ</b>	
<b>Г.Тиллабаева</b>	
Биринчи тартибли чизиқли оддий дифференциал тенгламалар учун кўп нуқтали чегаравий масала.....	105
<b>М.Ахмедов, Х.Далиев, М.Онаркулов</b>	
(BIXSB1-X) 2ТЕЗ поликристалл тензосезгир пленкаларнинг электронографик таҳлили .....	109
<b>М.Хакимов, М.Маматкулов</b>	
Табиий шарбат олиш учун мева ва сабзавотларни қайта ишлайдиган ШҚМ-18 қурилманинг амалдаги намунасини ишлаб чиқиш .....	112
<b>М.Холиков</b>	
Паразитизмнинг пайдо бўлиши ва оқибатлари .....	114
<b>Ф.Адилов</b>	
Ўзбекистон ва Озарбайжон халқлари ўртасидаги маданий ҳамкорлик алоқалари (кино ва театр соҳаси мисолида) .....	116
<b>Т.Тургунбаев</b>	
Кимёвий қуролларнинг яратилиш тарихи, жанговар қўлланилиш тавсифи ва уларнинг инсон организмига таъсири .....	119
<b>Э.Тажимирзаев</b>	
Фарғона водийси қишлоқларидаги маданий муассасалар фаолияти тарихидан (кино санъати мисолида) .....	123
<b>Р.Аҳмедова</b>	
Фарғона физиотерапия институтининг ташкил топиш ва фаолияти тарихидан (1923-1950 йиллар) ...	126
<b>В.Ишқуватов</b>	
Ўзбекистонда маҳалланинг моҳияти ва ўзига хослиги .....	129
<b>К.Пулатов</b>	
XX аср 50-йиллар охири 60-йиллар бошида Ўзбекистонда ижтимоий ва сиёсий ҳаёт (Фарғона водийси мисолида) .....	132
<b>С.Мўминов, Ш.Мўминов</b>	
Мутолаа маданиятининг лингвокультурологик тамойиллари .....	135
<b>Б.Жўраева</b>	
«Қорамол» ЛМГи асосида шаклланган ўзбек халқ мақолларининг услубий хусусиятлари .....	137
<b>М.Назирқулова</b>	
9-синфда Фурқатнинг “Фасли навбаҳор ўлди” ғазали матни устида ишлаш .....	140
<b>М.Саидакбарова</b>	
Қиссадан ҳиссанинг ғоявий-фалсафий функциялари .....	144
<b>М.Деҳқонова</b>	
Наим Каримов ижодининг ойбекшунослик тараққиётидаги ўрни .....	147
<b>Ф.Анварова</b>	
Бошлангич синфларда инглиз тилини тинглаб тушуниш орқали ўқитиш бўйича айрим тавсиялар ....	151
<b>И.Қирғизов, F.Нажметдинов, А.Исмоилов</b>	
Мусиқий таълимда аждодлар меросидан фойдаланиш амалиёти .....	154
<b>Ф.Эркабаева</b>	
Замонавий маҳобатли рангтасвир санъатида мусаввир ижодининг нафис чизгилари .....	156
<b>А.Хасанов</b>	
Ҳарбий таълим факултети талабаларининг ўқув йиғинлари даврида жисмоний машқлар билан шуғулланиш шакллари ҳамда воситаларини аниқлаш .....	159
<b>ФАНИМИЗ ФИДОИЛАРИ</b>	
<b>Аҳмаджон Қўшақович Ўринов</b>	163
<b>БИБЛИОГРАФИЯ</b>	
Библиография .....	166

( $\text{Bi}_x\text{SB}_{1-x}\text{Te}_3$ )<sub>2</sub> ПОЛИКРИСТАЛЛ ТЕНЗОСЕЗГИР ПЛЕНКАЛАРНИНГ ЭЛЕКТРОНОГРАФИК ТАХЛИЛИ

ЭЛЕКТРОНОГРАФИЧЕСКИЙ АНАЛИЗ ПОЛИКРИСТАЛЛИЧЕСКИХ  
ТЕНЗОЧУВСТВИТЕЛЬНЫХ ПЛЕНОК ( $\text{Bi}_x\text{SB}_{1-x}\text{Te}_3$ )<sub>2</sub>

ELECTRON DIFFRACTIONAN ALYSIS OF POLYCRYSTALLINE STRAIN-SENSITIVE FILMS  
( $\text{Bi}_x\text{SB}_{1-x}\text{Te}_3$ )<sub>2</sub>

М.Ахмедов, Х.Далиев, М.Онаркулов

*Аннотация*

Турли конденсация шароитида олинган  $\text{Bi-Sb-Te}$  етизимининг кристалл фазаларининг тузилиши ўрганилаган (конденсациятезлиги  $W$ , таглик ҳарорати  $T_n$ ) ва дифракция қайтаришларинин гинтенсивлиги маълумотларидан текисликларо масофаларни ҳисоблаш натижалари келтирилган.

*Аннотация*

В работе исследована структура кристаллических фаз системы  $\text{Bi-Sb-Te}$ , полученных в различных условиях конденсации (скорость конденсации  $W$ , температура подложки  $T_n$ ), приведены результаты расчета межплоскостных расстояний из данных интенсивности дифракционных отражений.

*Annotation*

In this work, we studied the structure of the crystalline phases of the  $\text{Bi} \sim \text{Sb-Te}$  system obtained under various condensation conditions (the condensation rate  $W$ , the substrate temperature  $T_n$ ), and the results of calculating interplanar distances from the data of the intensity of diffraction reflections.

**Калим сўз ва иборалар:** электронограмма, микродифракция, дифракция, қалинлик, пленка, интенсивлик.

**Ключевые слова и выражения:** электронограмма, микродифракции, дифрагированный, толщина, пленка, интенсивность.

**Keywords and expressions:** electron diffraction pattern, microdiffraction, diffracted, thickness, film, intensity

Метод микродифракции дает наглядную информацию о микроструктуре объектов, однако сферическая аберрация объективной линзы искажает микродифракционную картину и не позволяет осуществлять прецизионные измерения межплоскостных расстояний кристалла. Поэтому прецизионные дифракционные исследования пленок на просвет производились в электронографии ЭМР-100 при ускоряющем напряжении 75 кВ. Принципиальное отличие этого прибора от электронного микроскопа заключается в отсутствии электромагнитных линз между образцом и фотопластиной.

Хорошо известно, что картина рассеяния плоской монохроматической волны на кристалле имеет четко выраженные максимумы, если длина волны излучения  $\lambda$  меньше межатомного расстояния. Возникающая дифракционная картина является результатом интерференции элементарных сферических волн, рассеянных отдельными атомами. Можно показать, что максимумы интерференции возникают лишь в таком направлении, когда разность волновых векторов  $\bar{S}$  рассеянной (или дифрагированной) и падающей

$\bar{k}_0$  волн кратна вектору обратной решетки кристалла

$$\bar{S} = \bar{k} - \bar{k}_0 = 2\pi n \bar{g} \quad (1),$$

где  $n$ —целое число (порядок отражения).

Это соотношение эквивалентно условию Вульфа-Брегга

$$|\bar{g}| = \frac{1}{2\pi} |\bar{S}| = \frac{1}{d_{hkl}} = \frac{2\sin\theta}{n\lambda} \quad (2),$$

где  $\Theta$  — половина угла рассеяния,  $d=|\bar{g}|^{-1}$  — расстояние между атомными плоскостями кристалла, индексы Миллера которых ( $hkl$ ), перпендикулярны вектору  $\bar{g}_{hkl}$  [1,574].

Направления распространения и интенсивности дифрагированных волн относительно первичной волны определяются размерами и формой элементарной ячейки кристалла и пространственным расположением атомов в ней [2,432].

Электронограмма от поликристалла представляет собой ряд концентрических окружностей, расположенных в плоскости фотопластинки. Это является результатом

М.Ахмедов – ФерГУ, доцент, кафедра безопасности жизнедеятельности.

Х.Далиев – Институт физики полупроводников и

микроэлектроники при УзНУ, профессор,

М.Онаркулов – ФерГУ, кафедра прикладной математики и информатики, преподаватель.

усреднения ориентации отдельных кристаллитов по всем направлениям в пространстве. Таким образом, геометрия снимка поликристалла сводится к набору длин  $|\bar{g}_{hkl}|$ , т.е. к набору межплоскостных расстояний  $d_{hkl}$ , присущих данной кристаллической решетке.

Каждое вещество характеризуется определённым набором  $d_{hkl}$ , поэтому в данной работе осуществляется электронографический фазовый анализ, когда по набору  $d$  (с учетом примерной интенсивности дифракционных колец) данный объект идентифицировался известной ранее фазой или смесью фаз.

В качестве эталона нами использовался монокристаллический кремний. Дифракционные исследования проводились в электронографе ЭМР-100. Точность определения межплоскостных расстояний в электронном микроскопе ограничивалась aberrациями электромагнитных линз и составляла несколько процентов. Поэтому фазовый анализ структуры пленок осуществлялся в электронографе ЭМР-100, который позволяет измерять  $d_{hkl}$  погрешностью не хуже 1%.

Из рентгеноспектральных измерений следует, что химический состав пленок изменяется по толщине [3]. Поэтому естественно было предположить, что фазовый состав также изменяется по толщине пленки. В этом случае на электронограммах, полученных в режиме анализа пленки на просвет, будет наблюдаваться наложение дифракционных картин от всех фаз, присутствующих в пленке. Проанализируем структуру кристаллических фаз системы  $Bi\sim Sb\sim Te$ , используя имеющиеся в литературе данные.

На рис.1. приведены электронограммы от пленок, полученных нами в различных условиях конденсации (скорость конденсации  $W$ , температура подложки  $T_p$ ), и результаты расчета межплоскостных расстояний из данных интенсивности дифракционных отражений, полученных на основе эксперимента.

На рис.1. приведены электронограммы от пленок, полученных нами в различных условиях конденсации (скорость конденсации  $W$ , температура подложки  $T_p$ ), и результаты расчета межплоскостных расстояний из данных интенсивности дифракционных отражений, полученных на основе эксперимента.

Для расшифровки электронограмм величины межплоскостных расстояний и интенсивностей, наблюдавшихся в эксперименте, сопоставлялись с аналогичными данными для известных кристаллических фаз, которые могут присутствовать в пленках. Данные для поликристаллов  $Te$ ,  $Sb$  и  $\sigma$ -фазы  $Bi_2Te_3$  взяты из [4,85-88]. Рассчитанные нами значения для этой фазы соответствуют параметрам решетки  $a=4,28 \text{ \AA}$  и  $C=30,5 \text{ \AA}$ .

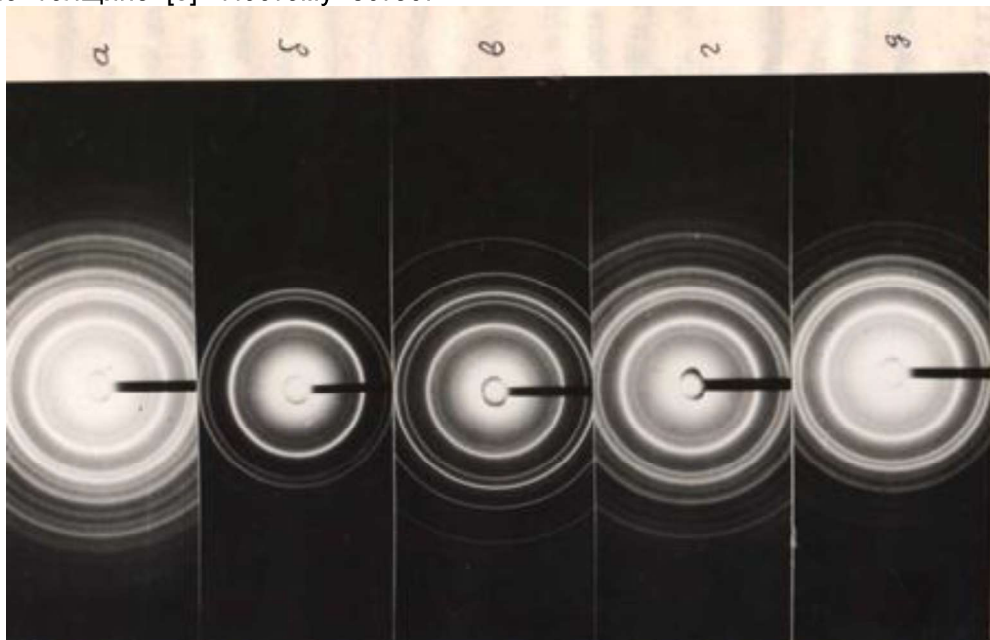


Рис.1. Электронограммы пленок  $(Bi_xSb_{1-x})_2Te_3$  зависимости от  $W$  и  $T_p$ :  $W=200 \text{ \AA/c}$ ,  $T_p = 50^\circ\text{C}$  (а),  $90^\circ\text{C}$  (б) и  $150^\circ\text{C}$  (в),  $W=80 \text{ \AA/c}$  (г),  $T_p = 90^\circ\text{C}$  и  $450 \text{ \AA/c}$ ,  $T_p = 90^\circ\text{C}$  (д).

Из сравнения электронограмм и межплоскостных расстояний видно, что на всех дифракционных картинах присутствует в основном одна и та же система  $d_{hkl}$ . Однако соотношение интенсивностей дифракционных колец зависит от условий конденсации пленки.

При  $T_p = 150^\circ\text{C}$  на электронограмме присутствует несколько дополнительных дифракционных колец  $a=5,05; 3,70; 2,64; 2,02$  и  $1,69 \text{ \AA}$ , которые не наблюдаются в других экспериментах.

## ИЛМИЙ АХБОРОТ

Анализ результатов данных интенсивности дифракционных отражений показывает, что во всех пленках присутствует смесь поликристаллических фаз: Sb, Te и  $\sigma$  – фазы типа  $(Bi_xSb_{1-x})_2Te_3$ . Поскольку большинство значений  $d$  для разных фаз практически совпадает, то установить величину  $x$  по электронограммам не представляется возможным. Однако, учитывая результаты изменения химического состава пленок, можно предположить, что параметры решетки  $\sigma$ -фазы непрерывно увеличиваются от подложки к поверхности пленки в соответствии с ростом концентрации Bi. Дифракционных отражений свободного висмута в пленках не наблюдалось. Это означает, что висмут присутствует в пленках только в виде соединения со структурой  $\sigma$  – фазы. Пленка, полученная при  $T_p = 150^\circ\text{C}$ , по сравнению с другими экспериментами, содержит большее количество свободной сурьмы. Это видно по появлению дифракционного отражения  $cd = 3,70 \text{ \AA}$ , которое достаточно слабое по интенсивности и поэтому не наблюдается в других экспе-

риментах. Кроме этого, при  $T_p=150^\circ\text{C}$  на электронограммах наблюдаются дополнительные рефлексы с  $d=5,05; 2,81; 2,64; 2,02; 1,69 \text{ \AA}$ .

Эксперименты показали, что увеличение скорости конденсации при постоянной  $T_p = 90^\circ\text{C}$  сопровождается ростом концентрации свободной сурьмы в пленке по отношению к теллуру. Уменьшение до  $50^\circ\text{C}$  при постоянной  $W \approx 200 \text{ \AA/c}$  приводит к росту концентрации свободного поликристаллического теллура.

Было установлено, что наилучшим тензоэлектрическим свойствам пленок соответствуют оптимальные условия их конденсации:  $T_p = 90^\circ\text{C}$ ,  $W \approx 200 \text{ \AA/c}$ . Из сопоставления этих данных с результатами электронографического и рентгеноспектрального анализов следует, что в оптимальном технологическом режиме получаются пленки, содержащие в основном соединение  $(Bi_xSb_{1-x})_2Te_3$ . Причем, значение  $x$  изменяется по толщине [5,597-603; 6,32-35]. Это изменение сопровождается изменением концентраций поликристаллических фаз теллура и сурьмы.

### Литература:

1. П.Хирли, А.Хови, Р.Никонсон, Д.Пэшли, М. Уэлан. Электронная микроскопия тонких кристаллов.-М.:Мир.- 1974.
2. Дж.Каули. Физика дифракции.–М.:Мир.-1979.
3. В.М. Грабов, Е.В. Демидов, В.А. Комаров. ФТТ, 50 (7),1312 (2008).
4. М.М.Стасова, О.Г.Карпинский. О сложности в структурах селенидов и теллуридов висмута и теллуридов сурьмы.//Журнал структурной химии.-1967.-Т.8.-№1.
5. В.А. Комаров, В.М. Грабов, А.В. Суслов, Н.С. Каблукова, М.В. Суслов. Эффекты Холла и Зеебека в тонких пленках висмута на подложке из слюды в диапазоне температур 77–300К. Физика и техника полупроводников, 2019, том 53, вып. 5.
6. Онарқұлов К.Ә., Юлдашев А.А., Азимов Т., Йүлдошқори Ш. //Висмут-сурьма теллуриди юпқа пардаларнинг электрофизик хоссаларига технологик жараённинг таъсири. “ФарДУ. Илмий хабарлар-научный вестник ФерГУ”. -2017. -№2.

(Тақризчи: К.Онарқұлов – физика-математика фанлари доктори, профессор)